

растает от $Q_0 = -0.73$ ($\gamma = 0.82$) до $Q_0 = -1.64$. Попытка расчетов при $\gamma > 1.4$ в стандартной версии ЛМТО—ПАС оказалась безрезультатной ввиду появления так называемых «теневых» зон. В ПАС пространство кристалла полностью перекрывается атомными сферами, поэтому весь электронный заряд целиком распределяется между АС анионов и катионов. Тогда в процессе переноса заряда от катиона к аниону, который принудительно создается увеличением γ , возрастает притягивающий (для электрона на анионе) потенциал ближайших соседей аниона, а собственного потенциала анионной АС становится недостаточно, чтобы связать десятый электрон на кислороде. Это приводит к неустойчивости процесса самосогласования из-за непрерывной осцилляции электронной плотности между анионом и катионом.

Таким образом, при близком к «ионному» соотношению радиусов АС ($\gamma = 1.4$) хорошо воспроизводится структура ВЗ MgO , но распределение заряда между АС не соответствует ни ковалентной (Mg^+O^-), ни чисто ионной ($Mg^{2+}O^{2-}$) зарядовым конфигурациям ионов, что соответствует теоретическим моделям [2, 10]. Учитывая специфику ПАС, можно заключить, что описанные здесь результаты соответствуют экспериментальным данным [7], где десятый электрон аниона в MgO предполагается равномерно распределенным по элементарной ячейке, т. е. в использованном нами ПАС он поделен между АС магния и кислорода. Дополнительным доводом в пользу правильности полученного в данной работе распределения электронной плотности в основном состоянии MgO может служить рассчитанная нами величина модуля упругости $B = 16.6$ дин/ cm^2 ($\gamma = 1.4$), которая лучше согласуется с экспериментальным значением $B = 16.8$ дин/ cm^2 , чем $B = 17.1$ дин/ cm^2 , вычисленная в [8].

Л и т е р а т у р а

- [1] Yamashita J., Kojima M. J. Phys. Sol. Jap., 1952, vol. 7, N 3, p. 261—263.
- [2] Pendry J. B. J. Phys. C. Sol. St. Phys., 1977, vol. 10, N 6, p. 809—824.
- [3] Abarenkov I. V., Antonova I. M. Phys. St. Sol. (b), 1979, vol. 93, p. 315—323.
- [4] Эварестов Р. А., Котомин Е. А., Ермошкин А. Н. Молекулярные модели точечных дефектов в широкощелевых твердых телах. Рига: Зинатне, 1983. 287 с.
- [5] Andersen O. K. In: The Electronic Structure of complex systems / Ed. P. Pharean, W. M. Temmerman. N. Y.: Plenum Press, 1984.
- [6] Perdew J. P., Levy M. Phys. Rev. Lett., 1983, vol. 51, N 20, p. 1884—1887.
- [7] Vidal-Valat B. G., Vidal J. P., Kuhki-Suonio K. Acta Cryst., 1978, vol. A34, p. 596—602.
- [8] Taurian O. E., Sprinborg M., Christensen N. E. Sol. St. Commun., 1985, vol. 55, N 4, p. 351—355.
- [9] Kowalchyk S. P., McFeely F. R., Ley L. et al. Sol. St. Commun., 1977, vol. 23, N 23, p. 161—165.
- [10] Fujii S., Kodama A., Mizuno Yu. J. Phys. Soc. Jap., 1986, vol. 55, N 5, p. 1703—1708.

Уральский политехнический
институт им. С. М. Кирова
Свердловск

Поступило в Редакцию
26 февраля 1988 г.

УДК 534.2 : 539.2

Физика твердого тела, том 30, в. 7, 1988
Solid State Physics, vol. 30, № 7, 1988

АКУСТОЭЛЕКТРОННОЕ ВЗАИМОДЕЙСТВИЕ В СЛОИСТОЙ СТРУКТУРЕ $LiNbO_3$ — VO_2 ПРИ ФАЗОВОМ ПЕРЕХОДЕ ПОЛУПРОВОДНИК—МЕТАЛЛ

Б. Б. Воронов, А. И. Коробов

Известно, что перестройка энергетического спектра электронов при температурном фазовом переходе полупроводник—металл (ФППМ) влияет на физические свойства группы окислов ванадия. Электрические и оптиче-

ские свойства данной группы материалов исследованы достаточно широко [1], однако их акустические свойства практически не изучались.

Аномалии температурных зависимостей упругих свойств монокристалла V_2O_3 при ФППМ ($T_{\text{неп}} = 140$ К), обусловленные наличием термодинамически неравновесных зародышей новой фазы в области перехода, обнаружены в [2]. Особенности ФППМ в тонких пленках VO_2 (размытие и температурный гистерезис) проявляются в соответствующем характере зависимостей поглощения и скорости поверхностных акустических волн

(ПАВ).

в слоистой структуре $\text{LiNbO}_3 - \text{VO}_2$ от температуры в области $t_{\text{неп}} = 67$ °С [3, 4].

Целью настоящей работы явилось исследование влияния изменения электронных свойств пленки двуокиси ванадия при ФППМ на акусто-

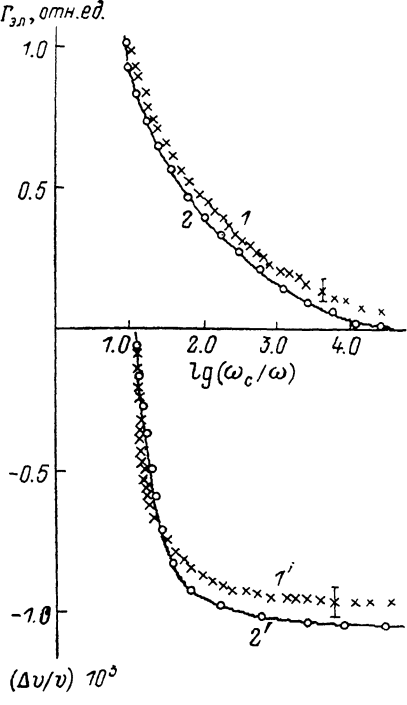


Рис. 1. Зависимость коэффициента акустоэлектронного поглощения Γ_{3n} и относительного изменения скорости $\Delta v/v$ ПАВ от $\lg(\omega_c/\omega)$.
1, 1' — эксперимент; 2, 2' — расчет [3].

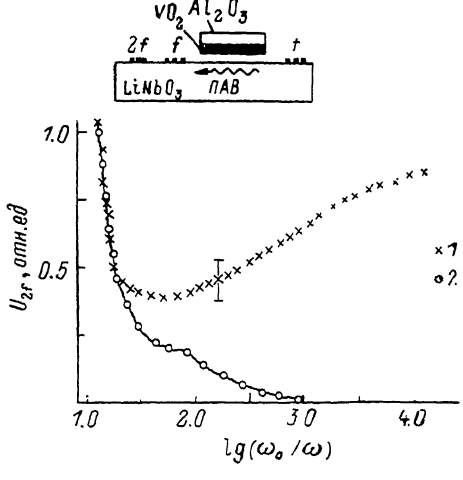


Рис. 2. Зависимость амплитуды второй акустической гармоники U_{2f} ПАВ от $\lg(\omega_c/\omega)$.
1 — эксперимент, 2 — расчет [5]. На вставке — слоистая структура $\text{LiNbO}_3 - \text{VO}_2$.

электронное поглощение, скорость и акустическую нелинейность ПАВ в слоистой структуре $\text{LiNbO}_3 - \text{VO}_2$ в диапазоне температур $t = 20 \div 80$ °С. В такой системе электрическое поле ПАВ, распространяющееся по подложке из ниобата лития, взаимодействует с электронами проводимости в приповерхностном слое VO_2 без акустического контакта между пленкой и подложкой. Акустическая нелинейность поверхности волны исследовалась спектральным методом — по эффективности генерации второй акустической гармоники U_{2f} ПАВ в слоистой структуре. Для исключения влияния температурных изменений, связанных с подложкой, на параметры ПАВ предварительно были проведены контрольные измерения без пленки VO_2 .

Пленка VO_2 толщиной $d = 1$ мкм, напыленная на сапфировую подложку, механически прижималась к линии задержки YZ -среза кристалла ниобата лития между нанесенными на нее излучающим и приемным встречно-штыревыми электроакустическими преобразователями (ВШП) с резонансной частотой $f = 30$ МГц. Для приема сигнала второй гармоники ПАВ использовались ВШП с частотой $2f = 60$ МГц. Зависимости коэффициента акустоэлектронного поглощения Γ_{3n} , относительного изменения скорости $\Delta v/v$ и U_{2f} имели ярко выраженный гистерезисный характер и коррелировали с зависимостью сопротивления $R(t)$ пленки VO_2 , которое

измерялось одновременно. Параметры гистерезиса во всех случаях совпадают: петля образуется в точке $t_{\text{пер}}=67^{\circ}\text{C}$, ширина петли $\Delta t \approx 5^{\circ}$. Это позволило сделать вывод о прямой связи между поведением измеренных величин и происходящим в пленке двуокиси ванадия ФППМ.

Изменение сопротивления VO_2 в исследуемом диапазоне температур $R(t)=1.5 \text{ МОм} \div 2.0 \text{ кОм}$ связано с увеличением концентрации свободных носителей n , при этом в ходе ФППМ подвижность практически не меняется ($\mu \approx 0.1 \text{ см}^2/\text{В}\cdot\text{с}$ [4]). Радиус экранирования Дебая r_D , характеризующий в данном случае глубину проникновения электрических полей ПАВ в пленку, по оценкам, составляет $r_D \sim 10^{-8} \text{ м} \ll d$. Это позволяет использовать для анализа свойств структуры $\text{LiNbO}_3-\text{VO}_2$ релаксационную теорию [5] акустоэлектронного взаимодействия в приближении полубесконечных слоев. Для удобства расчетов температурные зависимости параметров ПАВ были представлены как функции безразмерного параметра $\lg(\omega_c/\omega)$ ($\omega_c = \sigma(n)/\epsilon\epsilon_0$, $\sigma(n)$ — максвелловская частота релаксации носителей, проводимость и диэлектрическая проницаемость VO_2 соответственно), который изменялся в пределах $1.2 \leq Cg(\omega_c/\omega) \leq 4.3$. Данные эксперимента были пронормированы на расчетные значения при $\lg(\omega_c/\omega) = -1.2$ ($t = 20^{\circ}\text{C}$).

Как видно из рис. 1, эксперимент в случае $\Gamma_{\text{ст}}$, $\Delta v/v$ вполне удовлетворительно описывается теорией [5], что согласуется с данными [4]. Однако расчетная зависимость U_{2f} испытывает значительное расхождение с экспериментальными данными в области $\lg(\omega_c/\omega) \geq 2.0$ ($t \geq 65^{\circ}\text{C}$). Такое расхождение можно объяснить, если наряду с концентрационным механизмом нелинейности [5] учесть нелинейные эффекты, связанные с особенностями ФППМ в исследуемом материале (существование областей старой и новой фаз в пленке VO_2 в процессе перехода). Наличие при $t > t_{\text{пер}}$ доменов полупроводниковой фазы, закрепленных на дефектах поверхности, может послужить причиной появления слоя $\sim r_D$ с меньшей (по сравнению с объемом, занятым металлической фазой) концентрацией носителей.

В квазистатическом ($\omega_c \gg \omega$) приближении с учетом сильного изгиба энергетических зон VO_2 в обедненном слое поверхностный потенциал Φ , представим в виде разложения по нормальной к поверхности компоненте электрической индукции D_n : $\Phi_s = AD_n + \frac{G}{n}D_n + \dots$ (зонный механизм акустоэлектронной нелинейности) [6, 7]. Наличие сильных механических напряжений, возникающих на границах раздела старой и новой фаз [1], через потенциал-деформационное взаимодействие также может оказывать влияние на величину изгиба зон у поверхности пленки VO_2 .

С учетом зонного механизма нелинейности мощность генерируемой второй гармоники ПАВ пропорциональна $P_{2f} \sim U_{2f}^2 \sim (G/n)^2$. В области $2 < \lg(\omega_c/\omega) < 4$, соответствующей ФППМ, амплитуда U_{2f} увеличивается в ~ 2 раза (рис. 2), что соответствует [6]

$$G(t > t_{\text{пер}})/G(t < t_{\text{пер}}) \sim 10^2, \quad \gamma_s(t \sim t_{\text{пер}}) \approx 5, \quad n_s = n \exp(-\gamma_s) \sim 10^{-2} n$$

(потенциал Φ_s выражается в единицах $q/(k_B T)$ по отношению к потенциальну объема образца; q — заряд электрона; k_B — постоянная Больцмана; n_s — поверхностная концентрация носителей, соответствующая старой полупроводниковой фазе).

Проведенные оценки влияния эффекта изгиба зон на величины поглощения и изменения скорости ПАВ [7] удовлетворительно описывают расхождение экспериментальных и расчетных данных (рис. 1).

Приведенные рассуждения позволяют сделать вывод, что исследование нелинейных акустоэлектронных свойств структуры $\text{LiNbO}_3-\text{VO}_2$ дает новую информацию о динамике электронных процессов в пленке в ходе ФППМ.

В заключение авторы выражают свою признательность Л. А. Славутскому за обсуждение результатов работы, а также В. Г. Можаеву за полезные дискуссии.

- [1] Бугаев А. А., Захарченя Б. П., Чудновский Ф. А. Фазовый переход металл—полупроводник и его применение. Л.: Наука, 1979. 183 с.
- [2] Андрианов Г. О., Дричко И. Л. Материалы XI Всес. конф. по акустоэлектронике и квантовой акустике. Душанбе, 1981, ч. II, с. 228—229.
- [3] Боборыкина Е. Н., Васильев Б. П., Чудновский Ф. А. Письма в ЖТФ, 1981, т. 7, № 23, с. 1436—1440.
- [4] Боборыкина Е. Н. Автореф. канд. дис. Л., 1987.
- [5] Можаев В. Г., Соловьев И. Ю. Акустич. журн., 1980, т. 26, № 3, с. 433—439.
- [6] Вьюн В. А. Акустич. журн., 1985, т. 31, № 6, с. 792—795.
- [7] Вьюн В. А., Левин М. Д. ФТТ, 1981, т. 23, № 3, с. 838—845.

Московский государственный
университет им. М. В. Ломоносова
Москва

Поступило в Редакцию
13 ноября 1987 г.
В окончательной редакции
5 марта 1988 г.

УДК 541.57

Физика твердого тела, том 30, № 7, 1988
Solid State Physics, vol. 30, N 7, 1988

ЭЛЕКТРОННАЯ ЗОННАЯ СТРУКТУРА И ВАЛЕНТНОСТЬ ИТТЕРБИЯ В YbC_2 И YbN

В. П. Жуков, Н. И. Медведева, Г. Г. Михайлов, В. А. Губанов

Известно, что для дикарбидов РЗЭ характерна валентность атомов РЗЭ, равная +3 [1]. Исключением является YbC_2 , где иттербий проявляет аномальную валентность +2. В других соединениях иттербия (нитриды, оксиды, полуторные карбиды и т. д.) также в основном проявляется валентность $\text{Yb} +3$. Причины аномальной валентности Yb в YbC_2 неизвестны, так как какие-либо прямые экспериментальные сведения (рентгеноэмиссионные, фотоэлектронные и т. д.) или расчетные данные по электронной зонной структуре YbC_2 отсутствуют, и имеющиеся представления об электронной структуре дикарбидов основаны на результатах изучения электрических и магнитных свойств, на исследовании продуктов гидролитического разложения и на других косвенных данных [2]. В связи с этим мы выполнили исследование зонной структуры YbC методом ЛМТО в ортогонализованном базисе [3, 4]. Для выяснения физических причин аномальной валентности изучался также нитрид иттербия, в котором иттербий имеет валентность +3. Детали расчетов в целом соответствуют расчетам соединений скандия [5], монокарбида и дикарбида иттрия [6]. В данном случае, поскольку имеются многочисленные экспериментальные и расчетные сведения о том, что $4f$ -состояния в соединениях тяжелых РЗЭ являются локализованными [7], $4f$ -состояния Yb были отнесены к жесткому остову, т. е. валентными состояниями считались $2s$ -, $2p$ -состояния углерода или азота и $5d$ -, $6s$ -, $6p$ -состояния иттербия. Разные валентные состояния иттербия в подобном приближении легко моделируются путем отнесения к остовным $4f$ -состояниям разного количества электронов: 13 электронов в случае Yb^{3+} и 14 электронов в случае Yb^{2+} . Относительная стабильность разных валентных состояний определялась путем полностью неэмпирического расчета энергии сцепления кристалла. В случае соединений переходных d -элементов энергия сцепления в приближении замороженного остова вычисляется сравнительно просто [5]

$$E_{\text{coh}} = E_{\text{cell}}^{\text{val}} - \sum_A E_A^{\text{val}}. \quad (1)$$

Здесь первый член представляет валентную энергию элементарной ячейки кристалла, а второй — валентную энергию атомов, соответствующих